

# การคำนวณการถ่ายเทความร้อนรวมสำหรับหลังคาค老公กรีตที่ติดตั้ง ฉนวนยางฟองน้ำเซลล์ปิดจากยางธรรมชาติ STR 20

## Calculation of Overall Heat Transfer for the Concrete Roof Installing Closed Cell Sponge Rubber Insulation from Natural Rubber STR 20

ธีระทัศน์ โสภากิติบูรณ์

Teeratat Sopakitiboon

นักวิจัยอิสระ

Independent Researcher

Email: steeratat@gmail.com

Received: March 07, 2020; Revised: May 01, 2020; Accepted: May 15, 2020

### บทคัดย่อ

การคำนวณการถ่ายเทความร้อนรวมของยางฟองน้ำเซลล์ปิดจากยางธรรมชาติชนิด STR 20 เพื่อใช้เป็นฉนวนกันความร้อนใต้หลังคาค老公กรีต โดยการคำนวณด้วยแบบจำลองทางคณิตศาสตร์เปรียบเทียบค่าความต้านทานความร้อนรวม และสัมประสิทธิ์การถ่ายเทความร้อนรวม เพื่อเป็นข้อมูลสำหรับการคำนวณหาค่าการถ่ายเทความร้อนรวมของหลังคาค老公กรีต (RTTV) พบว่าหลังคาค老公กรีตที่ติดตั้งฉนวนกันความร้อนชนิดนี้มีค่าความต้านทานความร้อนรวม ( $R_T$ ) สูงขึ้น  $1.083 \text{ m}^2 \cdot \text{K/W}$  (+ 30.34%) และยังส่งผลให้สัมประสิทธิ์การถ่ายเทความร้อนรวม ( $U$ ) ลดลง  $2.44 \text{ W/m}^2 \cdot \text{K}$  (- 23.28%) และผลจากการวิจัยนี้ยังสร้างแนวคิดในการคำนวณกันความร้อนชนิดนี้เปรียบติดกับแผ่นห้องความร้อน เพื่อให้ค่าการนำความร้อนที่จะเข้าสู่อาคารต่ำลง

**คำสำคัญ :** ฉนวนกันความร้อนใต้หลังคาค老公กรีต, ยางธรรมชาติชนิด STR 20, ค่าการต้านทานความร้อนรวม, ค่าสัมประสิทธิ์การถ่ายเทความร้อนรวม

### Abstract

This research is calculation of overall thermal transfer of closed cell sponge rubber from natural rubber STR 20 for use as insulation underside installing concrete roof with mathematical models calculating the overall thermal conductivity and the overall heat transfer coefficient to be the data for calculation overall heat transfer of the roof building (RTTV). The result of this research was found that the concrete roof with this type of insulation had the overall thermal resistance ( $R_T$ ) increased  $1.083 \text{ m}^2 \cdot \text{K/W}$  (+ 30.34%) and also caused the overall heat transfer coefficient ( $U$ ) to decrease  $2.44 \text{ W/m}^2 \cdot \text{K}$  (- 23.28%) and the result of this research also creates the idea that insulation will be rolled onto the reflective foil to reduce the heat conductivity to enter the building.

**Keywords :** Insulation under concrete, Natural Rubber STR 20, Total heat resistance, Total heat transfer coefficient

## 1. บทนำ

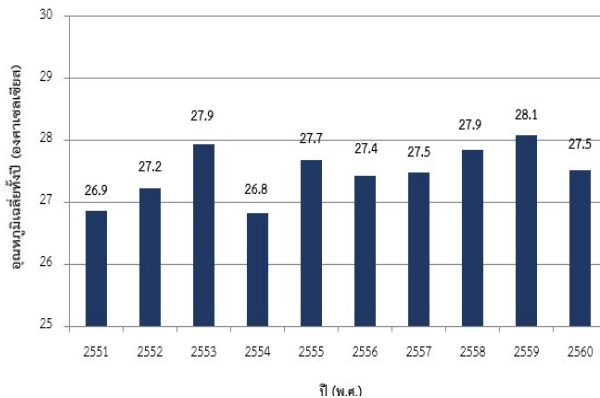
เกษตรกรรม เป็นอุตสาหกรรมประเภทหนึ่งของประเทศไทย อุตสาหกรรมยางพาราเป็นสินค้าทางการเกษตรประเภทหนึ่งที่ส่งผลด้านเศรษฐกิจของประเทศไทยเนื่องจากมีปริมาณการผลิตสูง มีการส่งออกต่างประเทศเป็นจำนวนมาก แต่กลับประสบปัญหาราคาตกต่ำ สาเหตุหนึ่งเกิดจากการไม่มีการพัฒนาเพื่อสร้างให้เกิดเป็นผลิตภัณฑ์เน้นการส่งออกในรูปของวัตถุดิบ และปัจจุบันยางธรรมชาติประสบปัญหาราคาผันผวน [1] ดังตารางที่ 1

ตารางที่ 1 ราคายางประจำปี 2562 [1]

เดือน	ราคาทั้งถิ่น (บาท)		ราคามูลย์ ตลาดกลางยางพารา อ.หาดใหญ่ จ.สงขลา (บาท)			
	ยางแผ่น ดิบ	น้ำยางสด (ณ โรงงาน)	ยางแผ่น ดิบ	ยางแผ่น รวมวัน ชั้น 3	น้ำยางสด	FOB. (Bangkok)
มกราคม	41.49	39.14	43.11	45.81	0.00	50.46
กุมภาพันธ์	42.41	41.73	43.85	46.28	0.00	50.78
มีนาคม	46.67	50.16	48.59	52.51	0.00	55.80
เมษายน	48.23	50.94	50.93	53.97	0.00	56.08
พฤษภาคม	49.04	50.82	51.71	53.87	0.00	57.26
มิถุนายน	53.35	52.00	55.77	58.54	0.00	62.81
กรกฎาคม	47.40	46.57	48.68	50.34	0.00	56.14
สิงหาคม	38.05	39.17	39.34	41.76	0.00	46.78
กันยายน	38.19	39.71	39.58	41.72	0.00	46.69
ตุลาคม	35.37	36.61	36.75	39.00	0.00	43.99
พฤษจิกายน	36.94	38.07	38.54	40.44	37.71	45.75
ธันวาคม	38.68	39.31	40.16	42.53	0.00	48.29
ค่าเฉลี่ย	42.99	43.69	44.75	47.23	3.14	51.74

แนวทางในการแก้ปัญหาอย่างยั่งยืนแนวทางหนึ่งคือการเพิ่มมูลค่าของยางธรรมชาติ โดยเน้นการทำให้เกิดผลิตภัณฑ์หลากหลายชนิด อุตสาหกรรมโยธาเป็นอุตสาหกรรมหนึ่งที่มีความเป็นไปได้ที่จะนำผลิตภัณฑ์จากยางพารามาใช้งาน ประกอบกับอุณหภูมิของประเทศไทยมีแนวโน้มสูงขึ้นอย่างต่อเนื่อง [2] ดังรูปที่ 1 ทำให้มีโอกาสที่จะนำจำนวนกันความร้อนเข้าไปติดตั้งภายในอาคาร เช่น พนัง หลังคา เป็นต้น ด้วยการสร้างผลิตภัณฑ์ที่เป็นลักษณะยางพองน้ำหรือยางโฟม ซึ่งมีลักษณะเป็นรูพรุน โดยจากการใช้สารเคมีที่ทำให้เกิดฟองอากาศ

อีกทั้งประเทศไทยยังมีนโยบายการอนุรักษ์พลังงานของอาคาร จำนวนกันความร้อนที่ผลิตจากยางธรรมชาตินี้จึงน่าจะมีโอกาสได้นำไปติดตั้งในอาคาร แต่ก่อนจะนำจำนวนกันความร้อนชนิดนี้ไปติดตั้งจริง จำเป็นต้องมีการคำนวณค่าต่าง ๆ ที่สำคัญต่อการออกแบบอาคารอนุรักษ์พลังงาน เสียก่อน เพื่อเป็นข้อมูลต่อไป



รูปที่ 1 อุณหภูมิเฉลี่ยรายปี พ.ศ. 2551-2560 [2]

บทความนี้ผู้วิจัยมุ่งหมายที่จะคำนวณด้วยแบบจำลองทางคณิตศาสตร์ในการนำยางฟองน้ำเซลล์ปิดจากยางธรรมชาติชนิด STR 20 ซึ่งเป็นการวิจัยต่อจากวิจัยเรื่องการเตรียมยางฟองน้ำชนิดเซลล์ปิดจากยางแห้งชนิด STR 20 เพื่อประยุกต์ใช้เป็นจำนวนกันความร้อนของ Teeratat Sopakitiboon, et al. [3] ซึ่งสามารถชี้รูปจำนวนกันความร้อนได้ความหนาที่ 7 cm. มาใช้เป็นจำนวนกันความร้อนใต้หลังคาคอนกรีต ซึ่งเป็นหลังคารูปแบบหนึ่งที่การติดตั้งจำนวนกันความร้อนที่มีข้อจำกัด เนื่องจากจำนวนกันความร้อนจำเป็นต้องมีลักษณะทางกายภาพที่เหมาะสม เพราะการติดตั้งจะเป็นการใช้ Spindle Pin ยึดติดกับใต้หลังคาโดยทำการคำนวณเปรียบเทียบค่าการนำความร้อนรวม ค่าความต้านทานความร้อนรวม และสัมประสิทธิ์การถ่ายเทความร้อนรวม เพื่อเป็นข้อมูลสำหรับการคำนวณหากการถ่ายเทความร้อนรวมของหลังคาอาคาร (RTTV) และเป็นแนวทางสำหรับการคำนวณกันความร้อนชนิดนี้ไปติดตั้งในลักษณะต่าง ๆ ของอาคารและเป็นแนวทางในการเลือกใช้วัสดุที่เหมาะสมกับการออกแบบอาคารประยุกต์พลังงาน

## 2. ทฤษฎี

### 2.1 ฉนวนกันความร้อน

ฉนวนกันความร้อน คือสิ่งที่นำมาใช้เพื่อป้องกันการถ่ายเทความร้อนจากด้านหนึ่งไปยังอีกด้านหนึ่ง คุณสมบัติที่สำคัญของฉนวนกันความร้อนคือ จะต้องเป็นวัสดุที่มีค่าการนำความร้อนต่ำ ค่าการต้านทานความร้อนสูง ไม่คุ้ดซึมน้ำ และจะต้องไม่เป็นวัสดุที่สามารถไฟ โดยทั่วไปฉนวนที่มีขâyในตลาดฉนวนกันความร้อนของประเทศไทยจะเป็นวัสดุประเภท Synthetic Rubber, Cellular Glass, Polyethylene และผลิตจาก Polyurethane สำหรับฉนวนยางธรรมชาติกันความร้อน หมายถึงฉนวนกันความร้อนที่ผลิตจากยางธรรมชาติ ซึ่งมีโครงสร้างเป็นผังเซลล์ปิดแบบยืดหยุ่นสูง (Elastic Closed Cell) ภายใต้แรงดันอากาศที่ต่ำ ทำให้มีค่าการคัดซับความชื้นต่ำ และมีค่าการต้านทานการซึมผ่านของไอน้ำได้ดี [4]

### 2.2 ค่าการนำความร้อน (k-Value)

ค่าการนำความร้อน (Thermal Conductivity, k-value) คือค่าการนำความร้อนของวัสดุ ซึ่งวัดผลจากค่าปริมาณ ความร้อนผ่านวัสดุจากจุดหนึ่งไปถึงจุดหนึ่ง โดยที่อุณหภูมิทั้งสองด้านต่างกันต่อหน่วยพื้นที่หน้าตัด ซึ่งค่าการนำความร้อน (k) สามารถคำนวณได้ดังสมการที่ 1 [5]

$$\dot{Q} = k \bullet (\Delta T / \Delta X) \quad \text{หน่วย W/m.K} \quad (1)$$

โดยที่  $k$  = ค่าการนำความร้อน (W/m. K)

$$\dot{Q} = \text{ความร้อนที่流ผ่านต่อพื้นที่ผิวตัวอย่าง (W/m²)}$$

$\Delta T$  = ความแตกต่างของอุณหภูมิระหว่างวัสดุทดสอบ (K)

$$\Delta X = \text{ความหนาของชั้นทดสอบ (m.)}$$

### 2.3 ค่าความต้านทานความร้อน (R-Value)

ค่าความต้านทานความร้อน คือค่าความต้านทานความร้อนของวัสดุในการป้องกันการไหลผ่านความร้อนของวัสดุ คำนวณได้จากการคำนวณที่ 2 [6-7]

$$R = (\Delta X / k) \quad \text{หน่วย (m².K)/W} \quad (2)$$

โดยที่  $R$  = ค่าความต้านทานความร้อน ((m².K)/W)

$$\Delta X = \text{ความหนาของวัสดุ มีหน่วยเป็นเมตร (m.)}$$

$$k = \text{ค่าการนำความร้อน (W/m.K)}$$

กรณีหลังค่าประกอบด้วยวัสดุหลายชนิดค่าความต้านทานความร้อนรวมหรือค่า  $R_T$  ( $m^2.K/W$ ) คำนวณได้จากสมการที่ 3

$$R_T = R_o + (\Delta X_1 / k_1) + R_a + \dots + (\Delta X_n / k_n) + R_i \quad (3)$$

โดยที่  $R_o$  = ค่าความต้านทานความร้อนของฟิล์มอากาศภายนอกอาคาร

$\Delta X_1, \dots, \Delta X_n$  = ความหนาของวัสดุแต่ละชั้นที่ประกอบเป็นหลังคาอาคาร

$k_1, \dots, k_n$  = สัมประสิทธิ์การนำความร้อนของวัสดุแต่ละชั้นที่ประกอบเป็นหลังคาอาคาร

$R_a$  = ค่าความต้านทานความร้อนของช่องว่างอากาศภายนอกอาคาร

$R_i$  = ค่าความต้านทานความร้อนของฟิล์มอากาศภายนอกอาคาร

ค่า  $R_o$  และ  $R_i$  โดยกำหนดไว้คือ ผิวของวัสดุโดยมากจะถือว่ามีการสัมประสิทธิ์การแพร่งสีสูง และกรณีพื้นหลังคาน้ำที่จะต้องให้ถือว่ามีค่าสัมประสิทธิ์การแพร่งสีสูง ดังตารางที่ 2

ตารางที่ 2 ค่าความต้านทานความร้อนของฟิล์มอากาศ [6]

ชนิดของวัสดุที่ทำหลังคา	ค่าความต้านทานความร้อนของฟิล์มอากาศ			
	ที่ผิวหนังค่าต้านน้ำ พิมพ์อิฐต่าง ๆ กันจาก แนวระนาบ	ที่ผิวหนังค่า ต้านน้ำที่ พิมพ์อิฐ		
0 องศา	๔๖.๕ องศา	๔๔ องศา	๒๐ องศา	
กรณีพื้นที่พื้นผิวหลังคา สีดำที่อิฐการแพร่งสีสูง	0.๑๖๒	0.๑๔๔	0.๑๓๓	0.๑๒๖
กรณีพื้นที่พื้นผิวหลังคา สีขาวที่อิฐการแพร่งสีต่ำ	0.๘๐๑	0.๕๙๕	0.๓๗๑	0.๑๔๙

### 2.4 ค่าสัมประสิทธิ์การถ่ายเทความร้อนรวม

ค่าสัมประสิทธิ์การถ่ายเทความร้อนรวมของหลังคาคำนวณได้จากการคำนวณที่ 4

$$U = (1 / R_T) \quad \text{หน่วย W/(m².K)} \quad (4)$$

### 2.5 หลังคาของอาคาร

หลังคาของอาคารโดยทั่วไปจำแนกได้ตามวัสดุที่ใช้ในการผลิต เช่น หลังคาเหล็ก กระเบื้อง หลังคากะรเบ็ง เป็นต้น แต่ก็มีหลังคาอีกรูปแบบที่มักใช้ในการก่อสร้างอาคารคือ หลังคาดอกนก ใช้ คาดฟ้าของอาคาร เป็นต้น ซึ่งโดยทั่วไปหลังคาของอาคารรูปแบบนี้ ส่วนของใต้อาคารจะ

เปลือยไม่มีการติดตั้งฝ้าไม่มีการติดตั้งฉนวนกันความร้อน ซึ่งการติดตั้งฉนวนกันความร้อนให้หลังคากอนกรีตนี้ ฉนวนกันความร้อนจำเป็นต้องมีลักษณะเป็นแผ่นเรียบ และสามารถยึดติดได้ด้วยพุก (Spindle Pin) ที่มีลักษณะเฉพาะ โดยหลังคากอนกรีตนี้ จะมีค่าการนำความร้อนที่  $1.442 \text{ W/m}^2\text{.C}$  ที่ความหนา  $20 \text{ cm}$ . [8] หรือเท่ากับ  $2.0 \text{ W/m. K}$  [9]

## 2.6 งานวิจัยที่เกี่ยวข้อง

Teeratat Sopakitiboon, et al. [3] ได้ศึกษาระบบการวัลคาด้านเชื้อน “Thermal Insulator Made from Solid Natural Rubber: Part 1 - Formulation of Rubber Compounding, Appropriate Forming Condition and Basic Properties” ทำการศึกษาระบบการวัลคาด้านเชื้อนที่เหมาะสมสำหรับการผลิตฉนวนกันความร้อนจากยางแห้งทั้งในระบบกำมะถันและในระบบเบอร์อ๊อกไซด์ ด้วยการทดสอบสมบัติทางกายภาพ ได้แก่ ขนาดฟองอากาศโดยเฉลี่ย และสมบัติทางกล ได้แก่ การทนต่อแรงดึงและการต้านทานต่อแรงกดของยางฟองน้ำที่ผลิตจากยางแห้ง พบร่วมระบบเหมาะสมสำหรับการนำผลิตฉนวนกันความร้อนจากยางแห้ง คือระบบเบอร์อ๊อกไซด์ โดยเปรียบเทียบกับระบบกำมะถัน ผ่านการทดสอบสมบัติทางกายภาพคือ ขนาดฟองอากาศโดยเฉลี่ย และสมบัติทางกล ได้แก่ การทนต่อแรงดึงและการต้านทานต่อแรงกดของยางฟองน้ำที่ผลิตจากยางแห้ง และยังพบว่าระบบเบอร์อ๊อกไซด์แบบกึ่งประสิทธิภาพเหมาะสมสำหรับการนำผลิตฉนวนกันความร้อนจากยางแห้ง

ธีระทัศน์ ไสภากิติบูรณ์ [10] ได้ศึกษา การเตรียมยางฟองน้ำชนิดเซลล์ปิดจากยางแห้งชนิด STR 20 เพื่อประยุกต์ใช้เป็นฉนวนกันความร้อน ได้ทำการผสมยางคอมปาวด์ด้วยระบบกึ่งประสิทธิภาพ และนำมาศึกษาอิทธิพลของปริมาณสารทำให้เกิดฟอง (Blowing Agents) ชนิด Supercell DPT ในปริมาณการใช้ที่ 3, 5 และ 8 ส่วน ในยางร้อยส่วน (phr) และสารหน่วงการติดไฟ (Flame Retardant) 2 ชนิดคือ อะลูมิเนียมไฮเดรต และคลอรีนเต็ฟอลิโอทิลีน ที่ปริมาณ 10 และ 20 phr พบร่วมที่ปริมาณการใช้สารทำให้เกิดฟอง 8 phr ส่งผลให้ขนาดฟองอากาศในฉนวนยางฟองน้ำมีขนาดที่ต่ำกว่าที่สุด และความหนาของฉนวนกันความร้อนมีขนาด  $7 \text{ cm}$ . สำหรับ

สารหน่วงการติดไฟทั้งสองชนิดที่ปริมาณแตกต่างกันให้สมบัติการต้านทานต่อการลามไฟที่ไม่แตกต่างกันโดยผ่านการทดสอบการลามไฟตามมาตรฐาน UL 94-HBF ทั้งหมด เมื่อนำฉนวนยางฟองน้ำมาทำการทดสอบการดูดซึมน้ำ อุณหภูมิที่เหมาะสมกับการใช้งาน และค่าการนำความร้อน พบร่วมฉนวนยางฟองน้ำที่ใช้ปริมาณสารทำให้เกิดฟอง 8 phr และสารหน่วงการติดไฟชนิดอะลูมิเนียมไฮเดรต 10 phr จะให้ค่าการดูดซึมน้ำต่ำสุดที่  $0.47 \%$  สามารถใช้งานได้โดยไม่เกิดการเบลี่ยนแปลงรูปร่างที่อุณหภูมิสูงที่สุด  $84^\circ\text{C}$  และมีค่าการนำความร้อนต่ำที่สุดคือ  $0.064760 \text{ W/m.K}$  ซึ่งการวิจัยยังไม่ได้ทำการหาแนวทางในการติดตั้งฉนวนกันความร้อนดังกล่าว

## 3. การดำเนินงานวิจัย

### 3.1 ขั้นตอนการดำเนินงานวิจัย

การดำเนินการวิจัยเป็นการคำนวณด้วยแบบจำลองทางคณิตศาสตร์ที่กำหนดการจำลองรูปแบบการติดตั้งฉนวนกันความร้อนที่ผลิตจากยางฟองน้ำเซลล์ปิดจากยางธรรมชาติชนิด STR 20 ที่ความหนา  $7 \text{ cm}$ . มาติดตั้งให้หลังคายกและหลังคากอนกรีตที่มีอุณหภูมิใต้หลังคานิ่งอยู่ที่  $15 - 60^\circ\text{C}$  เนื่องจากด้วยคุณสมบัติของฉนวนยางฟองน้ำที่นำมาประยุกต์ โดยขั้นตอนการทำงานวิจัยดังรูปที่ 2



รูปที่ 2 ขั้นตอนการดำเนินงานวิจัย

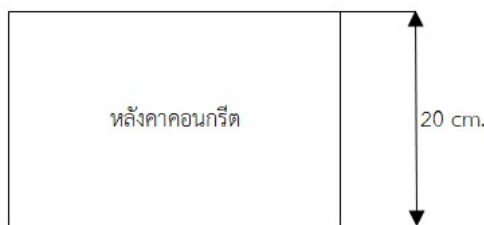
### ซึ่งกำหนดเงื่อนไขการคำนวณของวัสดุคือ

1) หลังคาคอนกรีตความหนา 20 cm. ตามความหนาที่ใช้ในการคำนวณตามคู่มือโปรแกรม OTTV 52 ของสถาบันสถาปัตยกรรม [8]

2) ความหนาของฉนวนกันความร้อนมีขนาด 7 cm. มีลักษณะทางกายภาพเป็นแผ่นเรียบ ซึ่งเป็นความหนาที่ได้จากการเดรียมยางฟองน้ำชนิดเซลล์ปิดจากยางแท่งชนิด STR 20 เพื่อประยุกต์ใช้เป็นฉนวนกันความร้อนของชีริห์ทศน์ สถากิตบูรณ์ [10]

โดยทำการคำนวณด้วยแบบจำลองทางคณิตศาสตร์ที่กำหนดการจำลองรูปแบบการติดตั้งคือ

- 1) หลังคาคอนกรีตความหนา 20 cm. ดังรูปที่ 3
- 2) หลังคาคอนกรีตความหนา 20 cm. ปิดทับด้วยฉนวนกันความร้อนบริเวณใต้หลังคาโดยฉนวนกันความร้อนด้วย Spindle Pin ดังรูปที่ 4



รูปที่ 3 หลังคาคอนกรีตความหนา 20 cm.



รูปที่ 4 หลังคาคอนกรีตความหนา 20 cm. ปิดทับด้วยฉนวนกันความร้อนยึดฉนวนกันความร้อนด้วย Spindle Pin

### 4. ผลการทดลอง

การคำนวณด้วยแบบจำลองทางคณิตศาสตร์ตามรูปแบบที่กำหนดดังรูปที่ 3-4 ได้ผลการคำนวณความแตกต่างของค่าการนำความร้อนรวม ค่าความต้านทานความร้อนรวม และสัมประสิทธิ์การถ่ายเทความร้อนรวมที่ได้โดยการใช้สมการการหาค่าการนำความต้านทานความร้อนรวมคือ

$$R_T = R_o + (\Delta X_1/k_1) + R_a + \dots + (\Delta X_n/k_n) + R_i \quad (3)$$

และค่าสัมประสิทธิ์การถ่ายเทความร้อนรวมคือ

$$U = (1/R_T) \text{ หน่วย W/(m}^2\text{K}) \quad (4)$$

โดยที่ค่าการนำความร้อนที่กำหนดจะเป็นค่าที่ได้จากค่าการนำความร้อนของหลังคาคอนกรีต [7] และค่าการนำความร้อนของฉนวนยางฟองน้ำชนิดเซลล์ปิดจากยางแท่งชนิด STR 20 ที่ความหนา 7 cm. [3]

#### 4.1 หลังคาคอนกรีต ไม่ติดตั้งฉนวนกันความร้อน

ได้ผลความแตกต่างของค่าการนำความร้อนรวม ค่าความต้านทานความร้อนรวม และสัมประสิทธิ์การถ่ายเทความร้อนรวม ดังนี้

##### 4.1.1 ค่าการนำความร้อนรวม

$$k\text{-Value} = 2.0 \text{ W/m.K}$$

##### 4.1.2 ค่าความต้านทานความร้อนรวม

$$R_T = 0.317 \text{ m}^2.\text{K/W}$$

##### 4.1.3 สัมประสิทธิ์การถ่ายเทความร้อนรวม

$$U = 3.15 \text{ W/m}^2.\text{K}$$

#### 4.2 หลังคาคอนกรีต ติดตั้งฉนวนกันความร้อน

ได้ผลความแตกต่างของค่าการนำความร้อนรวม ค่าความต้านทานความร้อนรวม และสัมประสิทธิ์การถ่ายเทความร้อนรวม ดังนี้

##### 4.2.1 ค่าการนำความร้อนรวม

$$k\text{-Value } (k_1) = 2.0 \text{ W/m.K}$$

$$k\text{-Value } (k_2) = 0.064760 \text{ W/m.K}$$

โดยที่  $k_1$  คือค่าการนำความร้อนของหลังคาคอนกรีต

$k_2$  คือการนำความร้อนของฉนวนกันความร้อน

##### 4.2.2 ค่าความต้านทานความร้อนรวม

$$R_T = 1.40 \text{ m}^2.\text{K/W}$$

##### 4.2.3 สัมประสิทธิ์การถ่ายเทความร้อนรวม

$$U = 0.71 \text{ W/m}^2.\text{K}$$

## 5. สรุปผลการทดลอง

### 5.1 สรุปผลการทดลอง

จากผลการคำนวณด้วยแบบจำลองทางคณิตศาสตร์พบว่าค่าความต้านทานความร้อนรวมและค่าสัมประสิทธิ์การถ่ายเทความร้อนรวม พบร่วมกับการติดตั้งฉนวนกันความร้อนได้หลังคากอนกรีต สามารถเพิ่มค่าความต้านทานความร้อนรวม และยังสามารถลดสัมประสิทธิ์การถ่ายเทความร้อนรวมดัง ตารางที่ 3

ตารางที่ 3 แสดงผลการเปรียบเทียบผลการคำนวณ

Comparison		
Roof	R <sub>T</sub> (m <sup>2</sup> .°K/W)	U (W/m <sup>2</sup> . °K)
No Insulation	0.317	3.15
Install Insulation	1.40	0.71
Difference	(+) 0.108 or (+) 30.34%	(-) 0.654 or (-) 23.28%

ซึ่งการประยุกต์ใช้ยางพองน้ำเซลล์ปิดจากยางธรรมชาติชนิด STR 20 เพื่อใช้เป็นฉนวนกันความร้อนได้หลังคากอนกรีต สามารถประยุกต์ใช้สำหรับการประยุกต์พลังงานภายในอาคารได้ และยังสามารถนำข้อมูลการประยุกต์พลังงานของหลังคาที่ติดตั้งฉนวนกันความร้อนที่ผลิตจากยางพองน้ำเซลล์ปิดจากยางธรรมชาติชนิด STR 20 ไปคำนวณค่า RTTV ก็จะทำให้อาคารมีผลการประเมินอาคารอนุรักษ์พลังงานที่ดีขึ้น

และด้วยลักษณะทางกายภาพของฉนวนกันความร้อนชนิดที่มีลักษณะเป็นแผ่นเรียบ จึงสามารถนำไปติดตั้งได้หลักหลากรูปแบบ จึงมีโอกาสที่จะเป็นการสร้างมูลค่าเพิ่มให้กับผลิตภัณฑ์ทางการเกษตรในอุตสาหกรรมยางพาราของประเทศไทย ทำให้เกิดมูลค่าเพิ่มทางเศรษฐกิจส่วนหนึ่งของประเทศไทยและยังเป็นการนำวัสดุธรรมชาติตามประยุกต์ใช้ลดการใช้ผลิตภัณฑ์จากกลุ่มพลาสติก

### 5.2 ข้อเสนอแนะ

ผลจากการวิจัยนี้ยังสร้างแนวคิดที่น่าจะมีความเป็นไปได้ในการนำฉนวนกันความร้อนชนิดนี้ไปรีดติดกับแผ่นสะท้อนความร้อน (Reflective Foil) ซึ่งน่าจะส่งผลให้ค่าการต้านทานความร้อนรวมสูงขึ้น และสัมประสิทธิ์การ

ถ่ายเทความร้อนรวมต่ำลง ส่งผลให้ความร้อนที่จะเข้าสู่อาคารต่ำลง การประยุกต์พลังงานก็จะมากขึ้นตาม

## 6. เอกสารอ้างอิง

- [1] การยางแห่งประเทศไทย, “ความเคลื่อนไหวราคายางปี 2562”, [Online]. (2020). [Cited June 7, 2020]. Available: [http://www.rubber.co.th/rubber2012/rubberprice\\_yr.php](http://www.rubber.co.th/rubber2012/rubberprice_yr.php)
- [2] กลุ่มงานติดตามประเมินสถานการณ์ กองติดตามประเมินผลสิ่งแวดล้อม สำนักงานนโยบายและแผนทรัพยากรธรรมชาติและสิ่งแวดล้อม, “อุณหภูมิเฉลี่ยรายปีของประเทศไทย พ.ศ. 2551-2560”, [Online]. (2019). [Cited July 29, 2019]. Available: [http://www.onep.go.th/env\\_data/2016/01\\_70/](http://www.onep.go.th/env_data/2016/01_70/)
- [3] Teeratat Sopakitiboon, Apaipan Rattanapan and Surakit Tuampoemsab, “Thermal Insulator Made from Solid Natural Rubber: Part 1 - Formulation of Rubber Compounding, Appropriate Forming Condition and Basic Properties,” Key Engineering Materials, vol. 737, pp. 567-571, 2017.
- [4] ข้อกำหนดฉลากเขียวสำหรับผลิตภัณฑ์ฉนวนกันความร้อน: ฉนวนยาง (Rubber Insulations), TGL-14-2-R1-11, 2011
- [5] กรองทิพย์ เติมเกะ, “การทดสอบสภาพนำความร้อนของฉนวนกันความร้อนคอมโพสิต,” วารสารกรมวิทยาศาสตร์บริการ, ปีที่ 60, ฉบับที่ 190, หน้า 9-11, 2555.
- [6] กรมพัฒนาพลังงานทดแทนและอนุรักษ์พลังงาน (พพ.), “บพที่ 3 ครอบอาคาร,” คู่มือผู้รับผิดชอบด้านพลังงาน (อาคาร), ตอนที่ 3, หน้า 3-32 – 3-35, กระทรวงพลังงาน, 2553.
- [7] ราชกิจจานุเบกษา ประกาศกระทรวงพลังงาน เรื่อง หลักเกณฑ์และวิธีการคำนวณในการออกแบบอาคาร แต่ละระบบการใช้พลังงานโดยรวมของอาคาร และการใช้พลังงานหมุนเวียนในระบบต่าง ๆ ของอาคารพ.ศ. 2552, เล่ม 126 ตอนพิเศษ 122 ง หน้า 45-49, 2552.

- [8] สถาบันสถาปนิกสยาม, “คู่มือโปรแกรม OTTV 52”,  
สมาคมสถาปนิกสยาม ในพระบรมราชูปถัมภ์, 2558.
- [9] Simo ILOMETS et al., “Impact of linear thermal  
bridges on thermal transmittance of renovated  
apartment buildings” , Journal of Civil  
Engineering and Management, pp. 1-9, 2016.
- [10] วีระทัศน์ โสภาคิติบูรณ์, “การเตรียมยางฟองน้ำชนิด  
เซลล์ปิดจากยางแท่งชนิด STR 20 เพื่อประยุกต์ใช้เป็น  
ชั้นกันความร้อน”, วิทยานิพนธ์วิศวกรรมศาสตร์  
มหาบณฑิต, สาขาวิชาเทคโนโลยีวิศวกรรมเครื่องกล,  
บัณฑิตวิทยาลัย, มหาวิทยาลัยเทคโนโลยีพระจอมเกล้า  
พระนครเหนือ, 2560.